

## 1. 研究対象

天体核反応(rp過程)、原子核のmirror symmetry等のを調べるため、陽子過剰核を非弾性散乱(クーロン励起、陽子非弾性散乱等)や核子移行反応(ノックアウト反応等)で励起し、陽子崩壊するチャンネルを測定する。

(c.f. 2001年INPAC, 2003年ワークショップ「RIビームファクトリと研究計画」)

## 2. 必要なアクセプタンス・分解能

1MeV 相対エネルギーで 100keV( $\sigma$ )の分解能をめざす。

c.f. Coulomb dissociation of  $^8\text{B}$  at GSI, PRL83,2910. PRL90, 232501.

角度アクセプタンス ( $\pm 70\text{mrad} \times \pm 70\text{mrad}$ ) <-> KaoS@GSI ( $\pm 70\text{mrad} \times \pm 140\text{mrad}$ )

運動量アクセプタンス  $P_{\max}/P_{\min} > 2.5$  <-> KaoS@GSI ( $P_{\max}/P_{\min} = 2$ )

角度分解能 <3mrad (標的中の多重散乱) <-> 0.6mrad (GSI)

運動量分解能  $\sim 0.1\%$  ( $\delta A = 0.25$  @  $A=200$ ) <-> KaoS@GSI ( $\sim 0.3\%$ )

## 3. front-end detector は検討中 (daimajin 単体で得られる角度分解能がよければ使用しない)

GSI-8B 実験では 15、30cm に 0.1mm pitch のマイクロストリップシリコン検出器を設置した。この方法には次のような問題点がある。

1) シリコンの計数率やダメージでビーム強度を制限される

2) フロントエンドのシリコン自体が  $\gamma$  線測定で BG の起源になる

設置するとしても、標的から 50cm 以上下流に、ビームが直接シリコン検出器に当たらないようにする。c.f. R<sup>3</sup>B project @ GSI

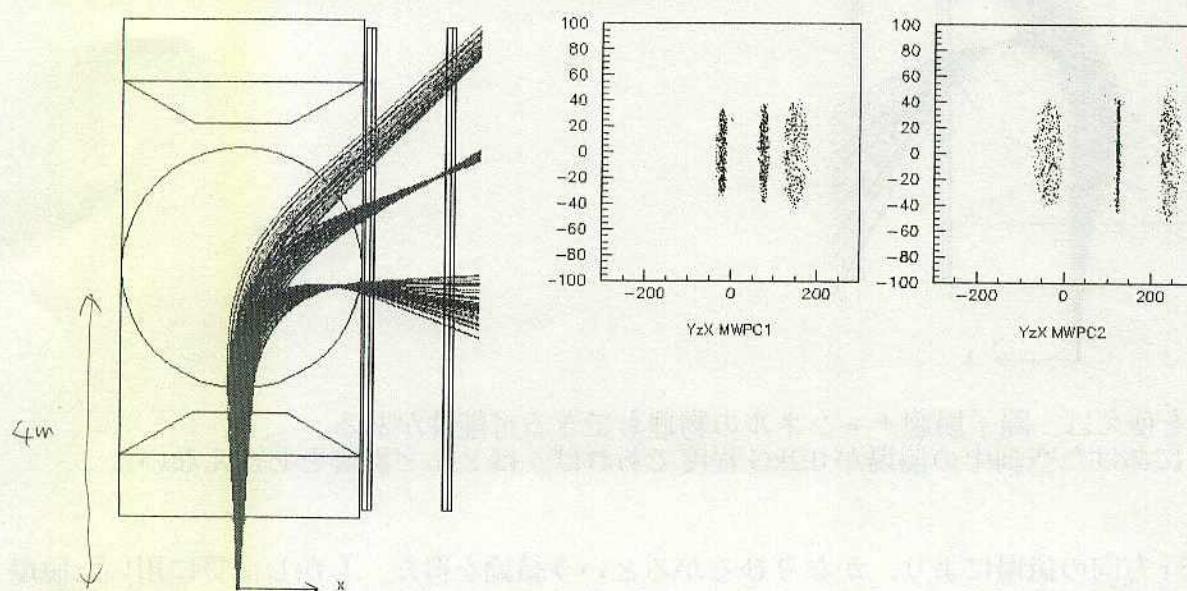
## 4. $\gamma$ 線検出器を置くため、標的一磁石間の距離を 4m とする。穴の直径は 31cm (=220cm \* 0.14rad) 以上が必要

磁場: z 方向はガウス近似した磁場 (最大磁場 3T、 $\sigma=92\text{cm}$ )

とりあえず r 方向の磁場は 0 とした。

4 度の円上に均一に粒子を散らして GEANT でトランスマッショングを計算。

(1)yoke 中の磁場を考慮しない場合: Transmission 100%

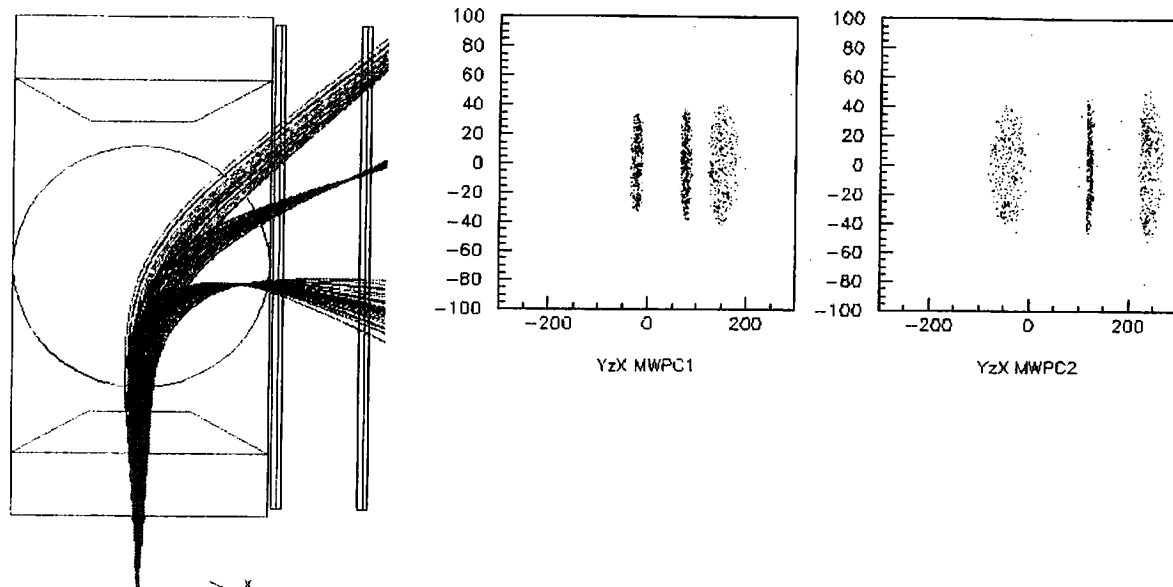


proton,  $A/Z=2$  の粒子は焦点をもつ。  $A/Z=2.5$  も期待出来る。

(2) r 方向の磁場は粒子を上下に発散させる方向に作用する。簡単な 1 次近似をつかうと、Transmission 98% となる。これはビームがひろがりポールを叩いているためである。位置検出器上の像が 5 割以上大きくなる。1 次近似が適当でない可能性もある。TOSCA 等で

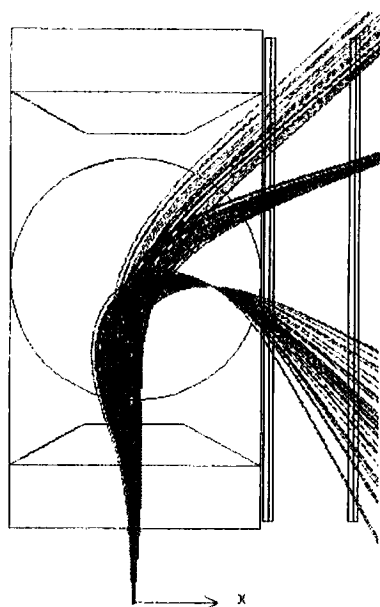
求めた磁場 map を用いて計算を行いたい。(焦点面検出器の有感領域、分解能を見積もるため。)

(3) yoke の空洞の磁場( $B_z = -0.2\text{kG}$ 、 $B_x = B_y = 0$ )、 $r$  方向の磁場 0。



軸が右にずれるため、焦点の位置が磁石側に移動している。Transmission=100%  
 $r$  方向の磁場を加えた時、ポールに当たる確立は高くなると思われる(要チェック)。0.2kG  
程度ではあまり影響はない。

(4) 試しに yoke の空洞の磁場を-5kG まであげてみる。



### 結論

横穴を使えば、陽子崩壊チャンネルの物理もできる可能性がある。

yoke にあけた空洞中の磁場が 0.2kG 程度であれば、ほとんど影響をあたえない。

### 方針

(2) で  $r$  方向の磁場により、かなりひろがるという結論を得た。しかし計算に用いた磁場マップはガウス近似をしたもので、overestimate している可能性もある。 $r$  方向の磁場による影響、角度分解能を見積もるため、もう少し現実的な磁場 map を用いて計算を行いたい。

7/2 に daimajin の磁場マップの計算値を送っていただけるように依頼した。回答待ち。